

УДК 539.4.01

© 1990

**КИНЕТИЧЕСКИЙ МЕХАНИЗМ ОБРАЗОВАНИЯ  
АННИГИЛЯЦИОННЫХ КАНАЛОВ  
В ДИСЛОКАЦИОННОЙ СТРУКТУРЕ  
ДЕФОРМИРОВАННЫХ КРИСТАЛЛОВ**

Г. А. Малыгин

Теоретически обсуждается механизм образования бездислокационных каналов (каналов Люфта) в дислокационной структуре предварительно деформированных при низкой температуре кристаллов. Анализ основан на решении нелинейного уравнения эволюции локальной плотности дислокаций в кристалле. Уравнение включает в себя процессы размножения, аннигиляции и диффузии дислокаций. Найдено, что для возникновения каналов необходимо выполнение некоторых критических условий. Получено стационарное решение уравнения, описывающее пространственно-периодическое распределение каналов в кристалле. Теоретические результаты сопоставляются с имеющимися в литературе данными по бездислокационным каналам в кристаллах молибдена.

Возникновение протяженных бездислокационных каналов шириной порядка нескольких микрон в однородной дислокационной структуре предварительно деформированных при более низкой температуре кристаллах молибдена было обнаружено в [1-3]. В дальнейшем это явление получило развитие и подтверждение в опытах на усталость [4, 5] и при электротрековой эрозии [6] молибдена. Во всех случаях последующая пластическая деформация осуществлялась в условиях, когда в кристаллическом образце при более низкой температуре была предварительно сформирована однородная дислокационная структура.

Полное или почти полное отсутствие дислокаций в каналах указывает на то, что их возникновение связано с процессом аннигиляции дислокаций, развивающимся при достаточно низких гомологических температурах ( $0.15-0.2 T_m$ ), где  $T_m$  — температура плавления. В [7, 8] предложен чисто силовой механизм образования таких каналов. Основным его элементом является плоская группа дислокаций одного знака, которая движется по кристаллу, вызывая разрушение и аннигиляцию дислокационных диполей. Существование таких мощных групп дислокаций является недостаточно обоснованным моментом модели, если учитывать легкость поперечного скольжения дислокаций в ОЦК металлах в рассматриваемом диапазоне температур.

В настоящей работе будет развита кинетическая модель явления, основанная на уравнениях дислокационной кинетики, описывающих эволюцию локальной плотности дислокаций в кристалле. Кинетический подход был ранее успешно применен для анализа механизмов формирования различных пространственно-неоднородных распределений дислокаций в кристаллах, таких как ячеистая [9, 10] и разориентированная ячеистая [11] дислокационные структуры, а также механизма образования полос сброса [12]. Аннигиляционные каналы, как можно предполагать, также являются результатом определенным образом развивающейся эволюции дислокационного ансамбля в кристалле при заданных условиях его деформирования.

# Аннигиляционная неустойчивость дислокационной структуры

На рис. 1, а приведена схема опытов [1, 2]. После деформации при температуре  $T_1 \leq 0.1 T_m$  (кривая 1; для Mo  $T_1 \leq 290$  К) и образования однородной дислокационной структуры кристалл деформировался при температуре  $T_2 \geq 0.15 T_m$  (493 К). Кривая 2 демонстрирует схематически полученную при этом зависимость напряжений течения  $\tau$  от величины пластической деформации  $\gamma$ . Характерными особенностями кривой являются наличие на ней падающего участка  $bc$  и возникновение на этом участке многочисленных скачков нагрузки, связанных с образованием в однородной дислокационной структуре кристалла бездислокационных каналов [1, 2]. Нормальная кривая упрочнения при этой температуре исходного, предварительно недеформированного кристалла имеет трехстадийный характер и не содержит скачков нагрузки (кривая 3).

На втором и третьем стадиях в образце возникает обычная ячеистая дислокационная структура.

Появление падающего участка  $bc$  на кривой 2 свидетельствует о процессе динамического разупрочнения предварительно сформированной при низкой температуре дислокационной структуры. Известно, что в ме-

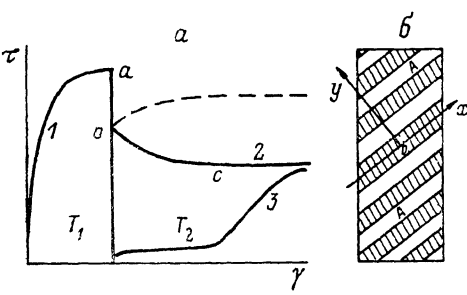


Рис. 1. Схема опытов [1, 2] (а), А — аннигиляционные каналы (б).

талах с ОЦК решетками при  $T < 0.1 T_m$  в структуре преобладают винтовые дислокации [13, 14], поэтому наблюдаемое при температуре  $T_2$  разупрочнение связано, во-первых, со снижением напряжений трения Пайерлса для движения винтовых дислокаций (рис. 1, а; скачок напряжения  $ab$ ); во-вторых, с процессом их аннигиляции, поскольку коэффициент аннигиляции винтовых дислокаций в ОЦК металлах резко возрастает при температурах выше  $0.1 T_m$  [15]. Что касается краевых диполей, то процесс их дезинтеграции и аннигиляции в этой области температур может осуществляться силовыми механизмами, обсуждаемыми в [16, 17].

Для анализа процесса аннигиляционного разупрочнения дислокационной структуры на участке  $bc$  кривой 2 (рис. 1, а) уравнение эволюции локальной плотности дислокаций в кристалле  $\rho$  [9–12] запишем в виде

$$\frac{\partial \rho}{\partial t} + (\xi - 1) \lambda_D v \frac{\partial^2 \rho}{\partial y^2} = (x_f \rho_f^{1/2} - x_a \rho) b v \rho, \quad (1)$$

где  $t$  — время,  $v$  — скорость дислокаций,  $b$  — вектор Бюргерса,  $\xi$  — коэффициент размножения диффузионного потока в поперечном к плоскости скольжения дислокаций направлении  $y$  (рис. 1, б),  $\lambda_D$  — соответствующее диффузионное расстояние [18],  $x_f$  — коэффициент размножения дислокаций на дислокациях «леса» [19],  $x_a$  — коэффициент аннигиляции дислокаций [15, 19]. При записи уравнения мы пренебрегли размножением дислокаций на препятствиях недислокационной природы ввиду более высокой по сравнению с ними плотности дислокаций «леса»  $\rho_f \approx \rho_0$  в дислокационной структуре, где  $\rho_0 \approx 10^{10}$  см<sup>-2</sup> — плотность дислокаций в предварительно деформированном образце.

Рассмотрим вначале случай однородной по кристаллу аннигиляции дислокаций. В условиях деформирования с постоянной скоростью  $d\rho/dt = (\partial\rho/\partial\gamma) \dot{\gamma}$ , где  $\dot{\gamma} = b v \rho$  — скорость пластической деформации. Поэтому, принимая во внимание, что в (1)  $\rho_f \approx \rho_0$ , имеем уравнение для эволюции однородной плотности дислокаций

$$\frac{d\rho/d\gamma}{\dot{\gamma}} = x_f \rho_0^{1/2} - x_a \rho. \quad (2)$$

Интегрируя его, находим

$$\rho(\gamma) = \rho_\infty + (\rho_0 - \rho_\infty) e^{-\alpha \mu b \gamma}, \quad \rho_\infty = (\chi_f / \chi_a) \rho_0. \quad (3)$$

Штриховая линия и кривая 2 (рис. 1, а) — зависимости напряжений течения  $\tau = \alpha \mu b \rho^{\frac{1}{2}}$  от  $\gamma$ , согласно (3), при начальной плотности дислокаций соответственно  $\rho_0 < \rho_\infty$ ,  $\rho_0 > \rho_\infty$ , где  $\rho_\infty$  — равновесная плотность дислокаций при  $\gamma \rightarrow \infty$ ,  $\alpha$  — коэффициент взаимодействия дислокаций,  $\mu$  — модуль сдвига. Как видно из этого рисунка, аннигиляционное разупрочнение имеет место, если величина  $\psi_\infty = \rho_\infty / \rho_0$  меньше единицы.

Величину параметра  $\psi_\infty$ , характеризующего, согласно (3), интенсивность процесса аннигиляции дислокаций, можно определить, зная начальное  $\tau_0 = \alpha \mu b \rho_0^{\frac{1}{2}}$  и равновесное  $\tau_\infty = \alpha \mu b \rho_\infty^{\frac{1}{2}}$  значения напряжений течения. Напряжению  $\tau_\infty$  соответствует плато на кривой 2 на рис. 1, а.<sup>1</sup> Таким образом,

$$\psi_\infty = \rho_\infty / \rho_0 = (\tau_\infty / \tau_0)^2, \quad \psi_\infty = \chi_f / \chi_a \rho_0^{\frac{1}{2}}. \quad (4)$$

Из данных [1, 2] находим, что при  $T_1 = 173$ ,  $T_2 = 413$  и  $493$  К величина  $\psi_\infty$  соответственно равна 0.6 и 0.5. Более низкое значение  $\psi_\infty$  при  $493$  К обусловлено ростом коэффициента аннигиляции дислокаций при повышении температуры [15].

Из результатов [1, 2] следует также, что если при  $413$  К аннигиляция протекает практически однородно по объему кристалла, то при  $493$  К в дислокационной структуре возникают многочисленные бездислокационные каналы, что свидетельствует о локальной неустойчивости структуры при этой температуре к процессу аннигиляции дислокаций. Для анализа неустойчивости линеаризуем уравнение (1), после чего, подставляя в него флуктуацию локальной плотности дислокаций стандартного вида  $\rho - \rho_0 = \delta\rho \sim e^{\omega t+iqx}$  и учитывая (2) и обозначения (3), получим выражение для инкремента нарастания флуктуации

$$\omega = [\chi_a (\rho_\infty - \rho_0) + (\xi - 1) (\lambda_D / b) q^2] b v, \quad (5)$$

из которого следует, что при  $\xi > 1$  и  $\rho_\infty < \rho_0$  однородная дислокационная структура оказывается неустойчивой к флуктуациям плотности с размерами  $\lambda = \pi/q$ , меньшими, чем

$$\lambda_c = \pi [(\xi - 1) (\lambda_D / b) / \chi_a (\rho_0 - \rho_\infty)]^{1/2}, \quad \rho_\infty < \rho_0. \quad (6)$$

При  $\lambda_c / b \approx 1$ ,  $\xi = 2$  [18],  $\chi_a = 5 \div 6$  [15],  $\psi_\infty = \rho_\infty / \rho_0 = 0.5$  находим  $\lambda_c \approx \rho_0^{-1/2}$ . Дальнейшая эволюция этих флуктуаций определяется нелинейным уравнением (1).

## 2. Аннигиляционные каналы

Рассмотрим стационарные  $\partial\rho / \partial t = 0$  решения уравнения (1) при  $\rho_f = \rho_0$  и общем граничном условии однородности исходной дислокационной структуры  $(\partial\rho / \partial x)_{x=0} = 0$ . Вводя безразмерные переменные

$$\Psi = \rho / \rho_0, \quad Y = y / \Delta_0, \quad \Lambda_0 = [(\xi - 1) \lambda_D / b \chi_a \rho_0]^{\frac{1}{2}}, \quad (7)$$

получаем из (1) уравнение для стационарной плотности дислокаций

$$\frac{d^2\Psi}{dY^2} = (\Psi_\infty - \Psi) \Psi, \quad \frac{d\Psi}{dY} \Big|_{\Psi=1} = 0. \quad (8)$$

Интегрируя его один раз и удовлетворяя граничному условию, имеем

$$\frac{3}{2} (d\Psi/dY)^2 = W(\Psi) = (1 - \Psi) [(1 - \frac{3}{2} \Psi_\infty) (1 + \Psi) + \Psi^2]. \quad (9)$$

<sup>1</sup> В реальных условиях плато (точка с на кривой 2) соответствует слабый минимум на кривой  $\tau(\gamma)$  [1, 2].

Общим решением (9) является эллиптический интеграл первого рода [20]

$$\delta^{-1}F(\theta, k) = \int_{\psi_0}^{\psi_n} \frac{d\psi}{\sqrt{W(\psi)}} = \left(\frac{2}{3}\right)^{1/2} \frac{y}{\Lambda_0}. \quad (10)$$

Частные решения интеграла зависят от величины бифуркационного параметра  $\psi_\infty = x_f/x_a \rho_0^{1/2}$ , определяющего величину  $\psi_n$  и число действительных корней кубического уравнения  $W(\psi)=0$ , а также модуль  $k$  и коэффициент  $\delta$  интеграла (10). Параметр  $\psi_\infty$  характеризует интенсивность процесса аннигиляции дислокаций при данной температуре опыта ( $x_a = x_a(T)$ ).

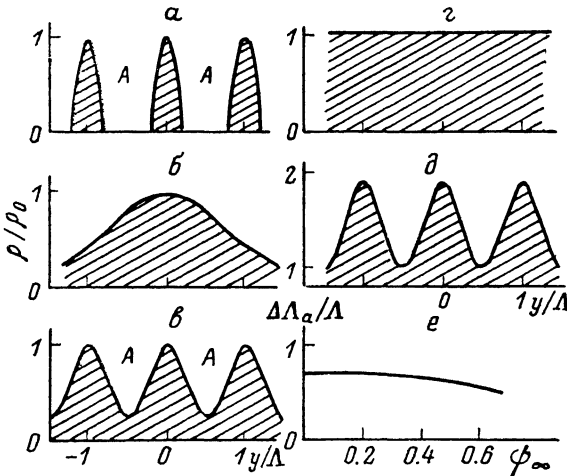


Рис. 2. Эволюция аннигиляционных дислокационных структур, согласно (10), с ростом величины параметра  $\psi_\infty = 0.5$  (α),  $2/3$  (β),  $0.7$  (γ),  $1.0$  (ε),  $1.5$  (δ) и зависимость от  $\psi_\infty$  относительной доли каналов в дислокационной структуре (ε).

Анализ показывает, что при  $0 < \psi_\infty < 2/3$  кубическое уравнение имеет один действительный корень  $\psi_1=1$ . Интеграл (10) описывает при этом пространственно-периодическую аннигиляционную структуру (рис. 2, α) с периодом

$$\Lambda = 4(3/2)^{1/2} \delta^{-1}F(\pi/2, k) \Lambda_0 \approx 10[(\xi - 1) \cdot D/bx_a \rho_0]^{1/2} \quad (11)$$

и отношением ширины аннигиляционных каналов  $\Delta\Lambda_a$  к периоду структуры, равным

$$\Delta\Lambda_a/\Lambda = 1 - F(\theta_0, k)/2F(\pi/2, k), \quad (12)$$

где

$$\cos \theta = \frac{\delta^2 - 1 + \psi}{\delta^2 + 1 - \psi}, \quad \cos \theta|_{\psi=0} = \cos \theta_0, \quad k^2 = \frac{1}{2} + \frac{3}{8} \frac{2 - \psi_\infty}{\delta^2}, \quad \delta^2 = \sqrt{3(1 - \psi_\infty)}. \quad (13)$$

Из (12) следует, что при изменении  $\psi_\infty$  от нуля до  $\psi_\infty=2/3$  относительная доля каналов  $\Delta\Lambda_a/\Lambda$  в структуре изменяется мало, в пределах от 0.67 до 0.5 (рис. 2, ε). При  $\psi_\infty=0.5$  величина  $\Delta\Lambda_a/\Lambda \approx 0.6$ . На рис. 3 приведены экспериментальные данные для Mo, подтверждающие этот вывод: несмотря на то что ширина каналов в зависимости от конкретных условий опыта изменяется в широких пределах от 0.5 до 2.5 мкм, относительная их доля в структуре составляет 50–60 %. Отметим также, что, поскольку в поликристаллических образцах плотность дислокаций обычно выше, чем в монокристаллах, более узкие каналы в поликристалле (рис. 3, 3) обусловлены, согласно (11), тем, что ширина каналов  $\Delta\Lambda_a \sim \Lambda \sim \rho_0^{-1/2}$ .

При критическом значении  $\psi_\infty=2/3$  уравнение  $W(\psi)=0$  имеет три действительных корня  $\psi_1=1$ ,  $\psi_2=\psi_3=0$ . Интеграл (10) описывает в этом случае промежуточную неустойчивую аннигиляционную структуру солитоноподобного вида (рис. 2, δ).

$$\varphi = \varphi_0 / \text{ch}^2(y/\Lambda), \quad \Lambda = \sqrt{6} \Lambda_0$$

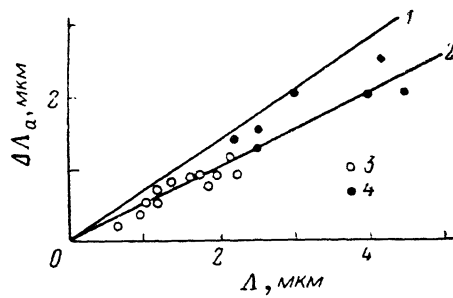
(14)

Дальнейшее снижение интенсивности процесса аннигиляции и рост параметра  $\psi_\infty$  в интервале  $2/3 < \psi_\infty < 1$  приводят к появлению трех различных действительных корней  $\psi_1=1, 0 < \psi_2 < 1, \psi_3 < 0$  и формированию в кристалле аннигиляционных каналов с конечной плотностью дислокаций  $\rho_2=\psi_2\rho_0$  в них (рис. 2, *в*). При  $\psi_\infty=1$  кубическая форма  $W(\psi)$  отрицательна при всех  $\psi > 0$ . Это означает, что дислокационная структура из-за равновесия процессов размножения и аннигиляции дислокаций ( $\rho_\infty=\rho_0$ ) остается однородной и стабильной (рис. 2, *г*). Наконец, при  $\psi_\infty > 1$  размножение дислокаций начинает преобладать над их аннигиляцией и в кристалле возникает ячеистая дислокационная структура с плотностью дислокаций в объеме ячеек  $\rho=\rho_0$  и в границах ячеек  $\rho > \rho_0$  (рис. 2, *д*).

Таким образом, результаты работы показывают, что для возникновения бездислокационных каналов необходимо, чтобы величина параметра  $\psi_\infty=x_a/\rho_0^{1/2}$ , характеризующего интенсивность процесса аннигиляции дислокаций при температуре  $T_2$ , была достаточно мала ( $\psi_\infty < 2/3$ ). В металлах с ОЦК решеткой (Ta, Nb) в интервале температур (0.15–0.2)  $T_m$  величина  $x_a \approx$

Рис. 3. Зависимость ширины каналов  $\Delta\Lambda_a$  от среднего расстояния между ними  $\Lambda$  согласно (12).

1 —  $\psi_\infty=0$ , 2 —  $\psi_\infty \leqslant 2/3$ . Экспериментальные точки: 3 — поликристалл Mo [3], 4 — монокристалл Mo [6].



= 5–6 [15], следовательно, при  $\rho_0 = 10^{10} \text{ см}^{-2}$ ,  $bx_f = 10^{-2}$  [19] и  $b = 0.27 \text{ нм}$  (Mo) имеем оценку  $\psi_\infty = 0.6–0.7 \leqslant 2/3$ , которая удовлетворительно согласуется с результатами [1, 2]. Если учесть, что равновесная плотность дислокаций при температуре предварительной деформации  $T_1$  равна  $\rho_\infty(T_1) = \rho_0 \approx [bx_f/x_a(T_1)]^2$  [19], то

$$\psi_\infty = x_a(T_1)/x_a(T_2) < 1. \quad (15)$$

Из этого выражения видно, что аннигиляционное разупрочнение дислокационной структуры при температуре  $T_2 > T_1$  обусловлено ростом коэффициента аннигиляции дислокаций при повышении температуры.

#### Список литературы

- [1] Luft A., Richter J., Schlaubitz e. a. // Mater. Sci. Eng. 1975. V. 20. N 1. P. 113–122.
- [2] Ritschel Ch., Luft A., Schulze D. // Krist. a. Techn. 1978. V. 13. N 7. P. 791–797.
- [3] Brenner B., Luft A. // Mater. Sci. Eng. 1982. V. 52. N 3. P. 229–237.
- [4] Бера Н. Д., Засимчук Е. Э., Каверина С. А., Фирстов С. А. // Металлофизика. 1980. Т. 2. № 1. С. 71–77.
- [5] Засимчук Е. Э. // Кооперативные деформационные процессы и локализация деформации. Киев. 1989. С. 58–100.
- [6] Гуревич М. Е., Дубовицкая Н. В., Захаров С. М., Лариков Л. Н. // ФММ. 1979. Т. 47. № 3. С. 659–662.
- [7] Владимиров В. И., Кусов А. А. // ФММ. 1977. Т. 43. № 6. С. 1127–1132.
- [8] Владимиров В. И., Кусов А. А. // ФММ. 1982. Т. 53. № 2. С. 367–371.
- [9] Малыгин Г. А. // ФТТ. 1989. Т. 31. № 1. С. 175–180.
- [10] Малыгин Г. А. // ФММ. 1990. Т. 68. № 5. С. 22–30.
- [11] Малыгин Г. А. // ФТТ. 1989. Т. 31. № 7. С. 43–48.
- [12] Малыгин Г. А. // ФТТ. 1990. Т. 32. № 4. С. 1102–1107.
- [13] Louchet F., Kubin L. P. // Phys. St. Sol. (a). 1979. V. 56. P. 169–176.
- [14] Носкова Н. И., Перетурина И. А., Журавлева А. И. и др. // ФММ. 1987. Т. 64. № 3. С. 554–560.
- [15] Малыгин Г. А. // ФТТ. 1987. Т. 29. № 7. С. 2067–2072.
- [16] Neumann P. D. // Acta Met. 1971. V. 19. N 11. P. 1233–1241.

- [17] Kuhlmann-Wilsdorf D., Laird C. // Mater. Sci. Eng. 1977. V. 27. N 1. P. 139—156.
- [18] Малыгин Г. А. // ФТТ. 1988. Т. 30. № 10. С. 3174—3177.
- [19] Владимирова Г. В., Малыгин Г. А., Рывкина Д. Г. // ФММ. 1989. Т. 67. № 2. С. 380—388.
- [20] Справочник по специальным функциям // Под ред. М. Абрамовица. М.: Наука, 1979. С. 401.

Физико-технический институт  
им. А. Ф. Иоффе АН СССР  
Ленинград

Поступило в Редакцию  
2 апреля 1990 г.